

# JEOFİZİK YÖNTEMLE HALİÇ SUALTI YAPISI

## Submarine Structure of Golden Horn by Geophysical Method

Ahmet ERCAN\*, Mehmet UTKU\* ve Mehmet YILMAZER

### ÖZET

Haliç Atatürk Köprüsü boyunca denizde, doğru akım yerelektrik özdirenç ve doğal uçaşma çalışmaları yapılmıştır. Elektrik özdirençlerine göre Haliç, temiz su, kirli su, çamur ve temel ile birlikte dört katmanlıdır. Haliç ortasında temiz su 1.5, kirli su 26, çamur 14 metre kalınlıktadır. Temelin en derin yeri 69 metre olup, yüzeyi 10-15 metreyi bulan engebeli bir görünütededir. Üst akıntılar, Haliç'ten Boğaza doğru olup -50 mV ve 90 mV/m'ye varan Doğal Uçaşma belirtileri vermiştir. Toplam 7 kanaldan oluşan akıntı yerleri, Unkapı yakasında egemendir.

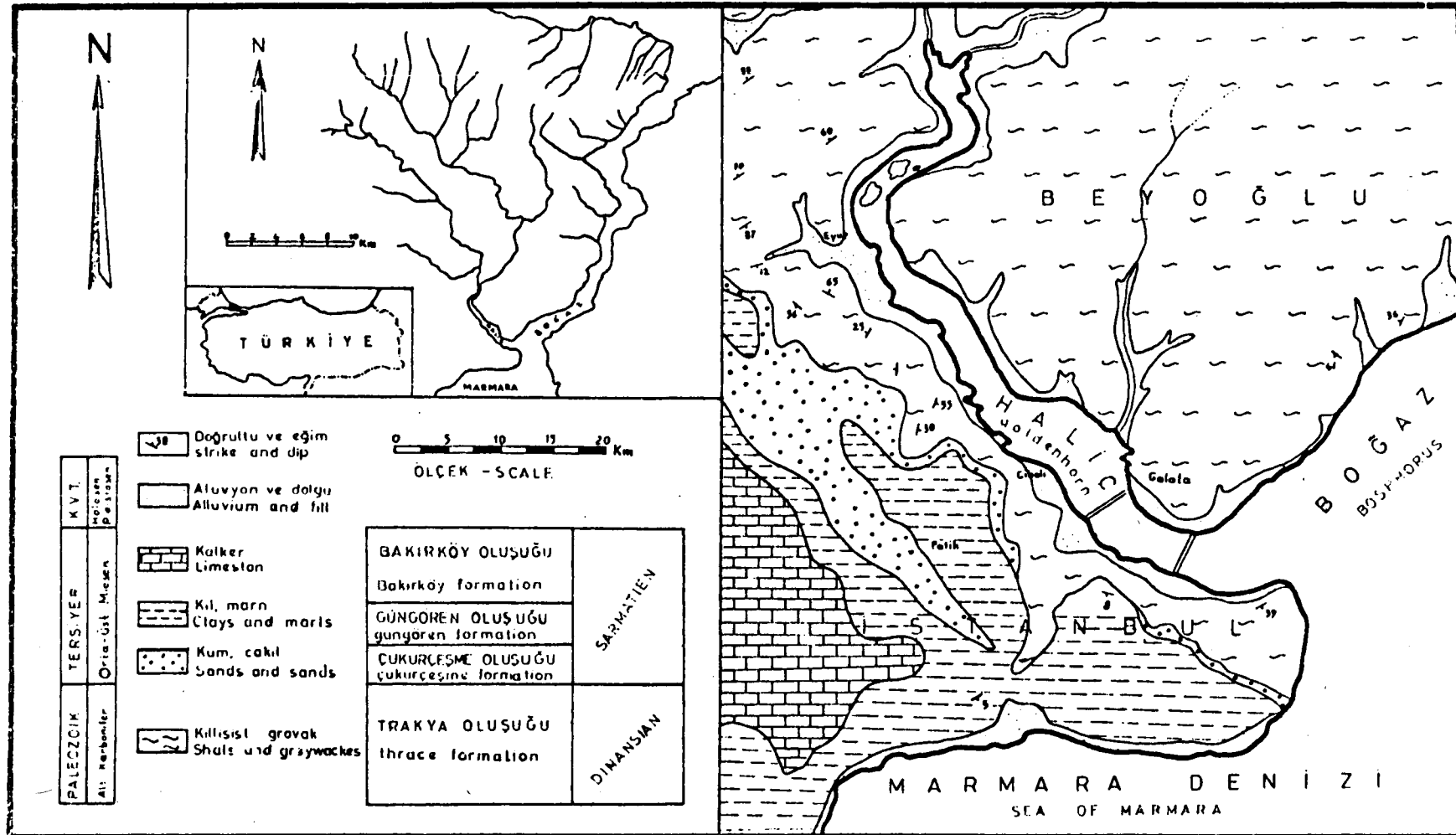
### ABSTRACT

D.C. resistivity and Natural Polarization measurements were conducted along the Atatürk bridge in Golden Horn bay area. In terms of electrical resistivities Golden Horn bay consists of four layers which are clear water, dirty water, mud and electrical basement, from top to bottom. Thickness of layers are 1.5 m, 26 m and 14 m, respectively. Minimum depth along the bridge was estimated to be 69 m, and its surface topography has steep and broken form appearance. Undulations of the surface is about 10-15 m. Direction of surfacial water flow is from Golden Horn to Bosphorus causing of -59 mV and 90 mV/m anomalies of Natural Polarization. The flows consist of seven channels which are dominate at Unkapı side. It is clearly observed that basement gets shallow from Unkapı to Galata side.

### GİRİŞ

Haliç, Alibeyköy'den Sarayburnu'na degen KD doğrultusunda uzanan boğaza bağlı bir su birikintisidir (Şekil 1). Denetimsiz endüstrileşme ve yerleşme sonucu kirlenerek doğal biçimini yitirmiştir. Haliç'i önceki özelliklerine yeniden kavuşturmak için günümüzde çok yönlü uğraşlar İstanbul Belediyesi'nce düzenlenmektedir. Araştırma ve uygulamaları yönlendirmek için öncelikle, Haliç'in bugünkü alt yapısının bilinmesi gereklidir.

Bu amaçla İstanbul Teknik Üniversitesi, Maden Fakültesi, Jeofizik Mühendisliği bölümünde 17 Mayıs 1986 Cumartesi günü 12 saatlik bir çalışma sürdürmüştür. Yapılan deneysel jeofizik çalışmaların amacı, Haliç'in elektrik görüntüsüne bakarak yüzeyden temele degen yeralan ayrı fiziksel özellikteki katmanları ve kalınlıklarını, temel yükseltilerini, kimyasal kirlenme bölgelerini, doğal su akış oluklarını, derinlik ve yönlerini ve varsa olası batıkların yerlerini belirlemektir. Bu amaca yönelik olarak elektrik ve uçaşma (polarization) ölçüleri alın-



Şekil 1. Haliç'in yeri ve dolayındaki varyapısal birimler (Sayar 1969'dan).

Fig. 1. Location of Goldenhorn and geology of its surrounding (After Sayar 1969).

muştu. Haliç çalışması süresince 98 doğal uçaşma, 90 elektrik kaydırma ve 1 noktada 25 ölçümle elektrik delgi ölçüleri alınmıştır.

### YERYAPISI

Galata yakasında en yaygın birim Paleozoik'in Karbonifer döneminde gelişen Trakya oluşugudur (Ct) (Baykal ve Kaya 1963, Kaya 1969). Bu oluşuk, kumtaşı, silttaşlı, konglemara, kilitaşı, mikali kumtaşı ardalaması içerir. Unkapı yakasında ise, (Ct)'nin salt ince kıyı kuşağı boyunca uzandığı gözlenmektedir. Eminönü yarımadasının Fatih yakası ve batısı Senezojik'in Tersiyer döneminin Miyosen evresinde oluşmuş Süleymaniye (Ts) ve İkitelli (Ti) oluşuklarında örtülüdür. Bu oluşuklar çoğunlukla mavi kil ve sarı kum silt ve çakıldır. Haliç yakın kıyısı ise Kuvaterner (güncel) yaşı alüvyon ve karışık gereç dolgusuyla kaplıdır. Genelde bir çöküntü çukuru olan Haliç'in sınırlarından birini Perşembe pazarı boyunca, diğerini Eminönü boyunca olmak üzere iki normal kırık oluşturur.

Dolayısıyla Haliç ortasında yapısal kütüğün üst bölümünde killi çamur-dolgu, temelinde ise (Ct) Trakya oluşuğu ve kavaklıların kabuklarından oluşan katmanlar vardır.

Haliç yöresinde karşılaşılan kayaçlar grovak, grovak şist, killi şist, silılış şist ve kireçtaşlarından oluşan Paleozoik yaşılı birimlerdir. Bu kayaçlar üzerine özellikle yüksek yerlerde, deniz basması ile uyumsuz olarak Neojen kum, çakıl, kil ve marn katmanları gelmiştir. Üst Paleozoik çökel katmanları kıvrımlı, kırıklı, çatlaklı ve damarlı görünüştedirler (Sayar 1976). İstanbul'un diğer yerlerinde de gözlendiği gibi, bunlar arasında yer yer andezit ve diyabaz dayakları yer almaktadır. Kumtaşları ve killi şistler ayrıntıları yererde sarımsı-kahverengi killi-şistli topraklar biçiminde izlenir.

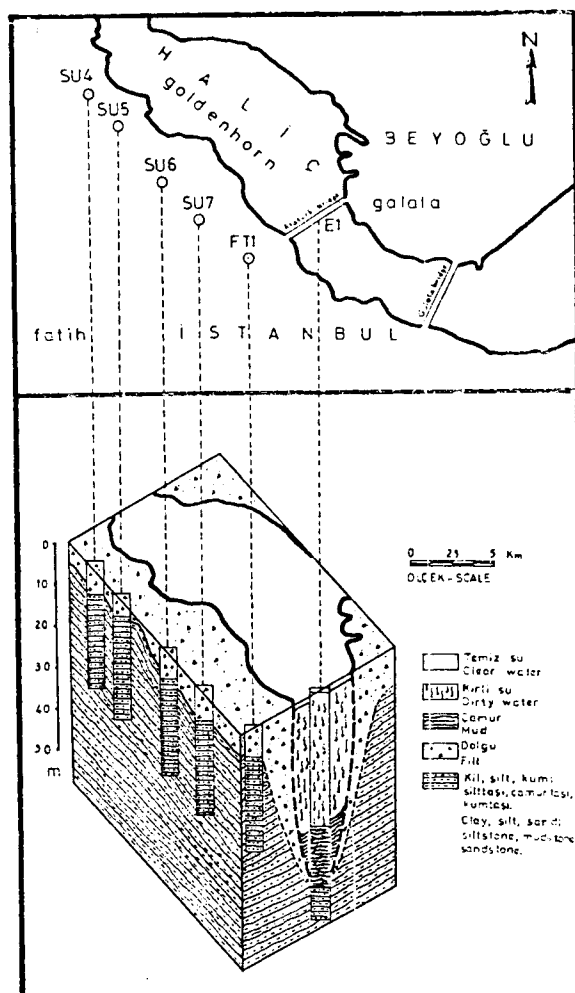
Güncel olarak, Alibey ve Kağıthane derelerinin taşıdığı tortulların yanı sıra kıyılardaki çeşitli üretim merkezlerinin kimyasal artıkları körfezi dolduran ve küçültten gereklerdir.

Katmanlar çoğunlukla 30 ile 90° eğimli olup, Paleozoik kıvrım eksenleri kabaca K-G doğrultuludur. Kırık ve çatlak gibi sürekli düzlemleri ise KB-GD ve KD-GB doğrultusunda gelişmiştir (Sayar 1976). Grovakkalar genellikle çatlaklı ve damarlı bir yapı içerirler. Genç katman serileri çok az bir eğimle GD ve GB'ya dalmışlardır.

Karada karşılaşılan Haliç kökenli kalıntılar Haliç kıyı çizgisinin zamanla Haliç orta yerine doğru gerileğini gösterir. Bunun nedeni, yanal doldurmalar ya da Haliç altında süregiden çökme-oturma sürecidir.

Haliç'in Unkapı yakasına koşut doğrultuda, kıyıdan yaklaşık 300-350 m içinde açılan delgilerden alınan karotlar ve arazi örneklerinin incelenmesi sonucun İstanbul Yarımadasının genel çökelsel kesiti, dolgu (doğal ve yapay); kil, silt, kum fosilli kireçtaşı (Senozo-

yik-Neojen); Silttaşlı, Çamurtaşlı, Kumtaşlı (Paleozoyik-Karbonifer) olarak gözlenmiştir (Erguvanlı ve diğ. 1983) (Şekil 2). Kıyıda yapılan delgilerde karşılaşılan dolgu kalınlıkları 4-9.50 m arasında değişmektedir. Kıyuya doğru dolgu kalınlığının arttığı gözlenmiştir. Senozoyik ve Paleozoyik yaşılı birimler çok çatlaklı, kırıklı ve kıvrımlı bir yapıdadır.



Şekil 2. Haliç kıyısı boyunca açılan delgiler ve yerelektrik delgi.

Fig. 2. Drills along the Goldenhorn, Unkapı side and geoelectrical sounding.

Yapılan deneylerle çamurtaşının % 6.16, silttaşının % 1.46 ve kumtaşının % 3.40 boşluk içeriği saptanmıştır. Aynı kayaçların bozuşmuşları için boşluk yüzdeleri sırasıyla 13.01, 2.34 ve 4.83 olarak bulunmuştur.

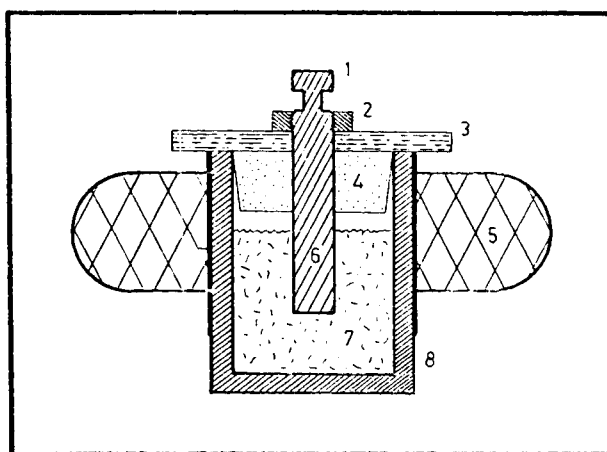
### ELEKTRİK ÖLÇÜMLER

Oluşukların elektrik akımını iletme özelliklerinden yararlanan bu yöntem ile Haliç altının elektrik iletkenlik yapısının ortaya çıkarılması amaçlanmıştır. Bu kap-

samda, köprüün orta yerinde (50'ci nokta) bir elektrik delgi ve köprü boyunca 16-60'ci noktalar arası elektrik kaydırma yapılmıştır. Kullanılan dizilim Wenner, ölçü aygıtı ise Megger yerdirenç ölçeri ve yüzə elekrotrolardır (Şekil 3 ve 4).

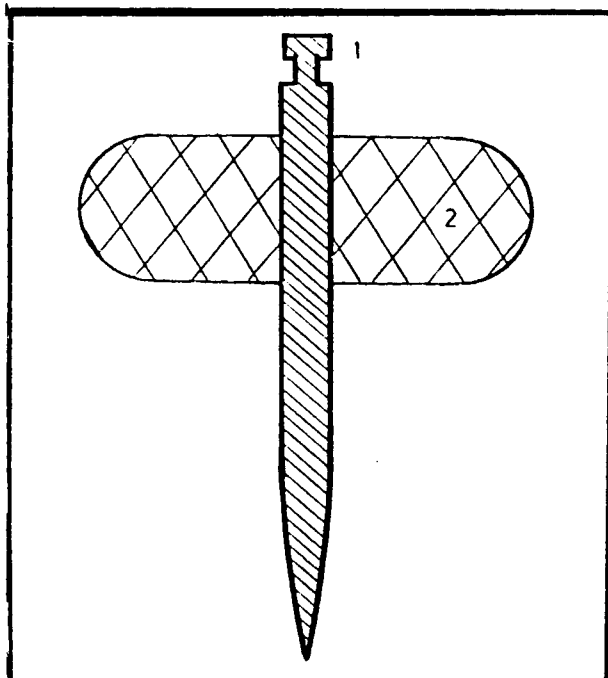
Haliç'te kirli-temiz su ayırm derinliği, tortul kalınlığı, çamur kalınlığı ve temel derinliğini bulmak için denizaltı elektrik delgisi alınmıştır. Kullanılan dizilim Wenner, en küçük açılım 1, en büyük 70 metre tutula-

rak ortamın  $R$  direnci ölçülmüştür (Şekil 5).  $R$  değerleri, 0.02 ile 0.18 Ohm arasında değişmektedir. Dizilim orta yeri olarak Atatürk köprüsünün ortasında Eyüp yakasındaki 50'inci nokta alınmış; açılım köprü boyunca elektroliz fincanlarını ve akım uçlarını yüzdürürek yapılmıştır. Bunun sonucu olarak KH-türü bir yerelektrik tepkisi elde edilmişdir (Şekil 6). Böylece elde edilen Haliç elektrik delgisinin değerlendirilmesiyle ortamın 4 katmanlı olduğu bulunmuştur. Sözü edilen katman-



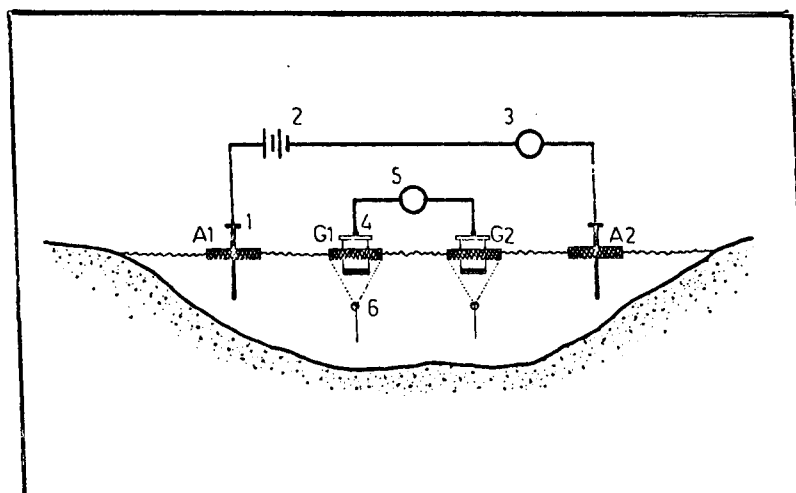
Şekil 3. Yüzer Fincan kesiti. 1- Bağlantı ucu, 2- Somun, 3- Yalıtkan kapak, 4- Mantar, 5- Yüzdürücü, 6- Bakır çubuk, 7- Bakır sülfat çözeltisi, 8- Porcelen fincan.

Fig. 3. Section of an hydropot. 1- Connection edge, 2- Nut, 3- Insulator lid, 4- Cork, 5- Floater, 6- Copper electrode, 7- Solution of copper sulphide, 8- Porcelain pot.



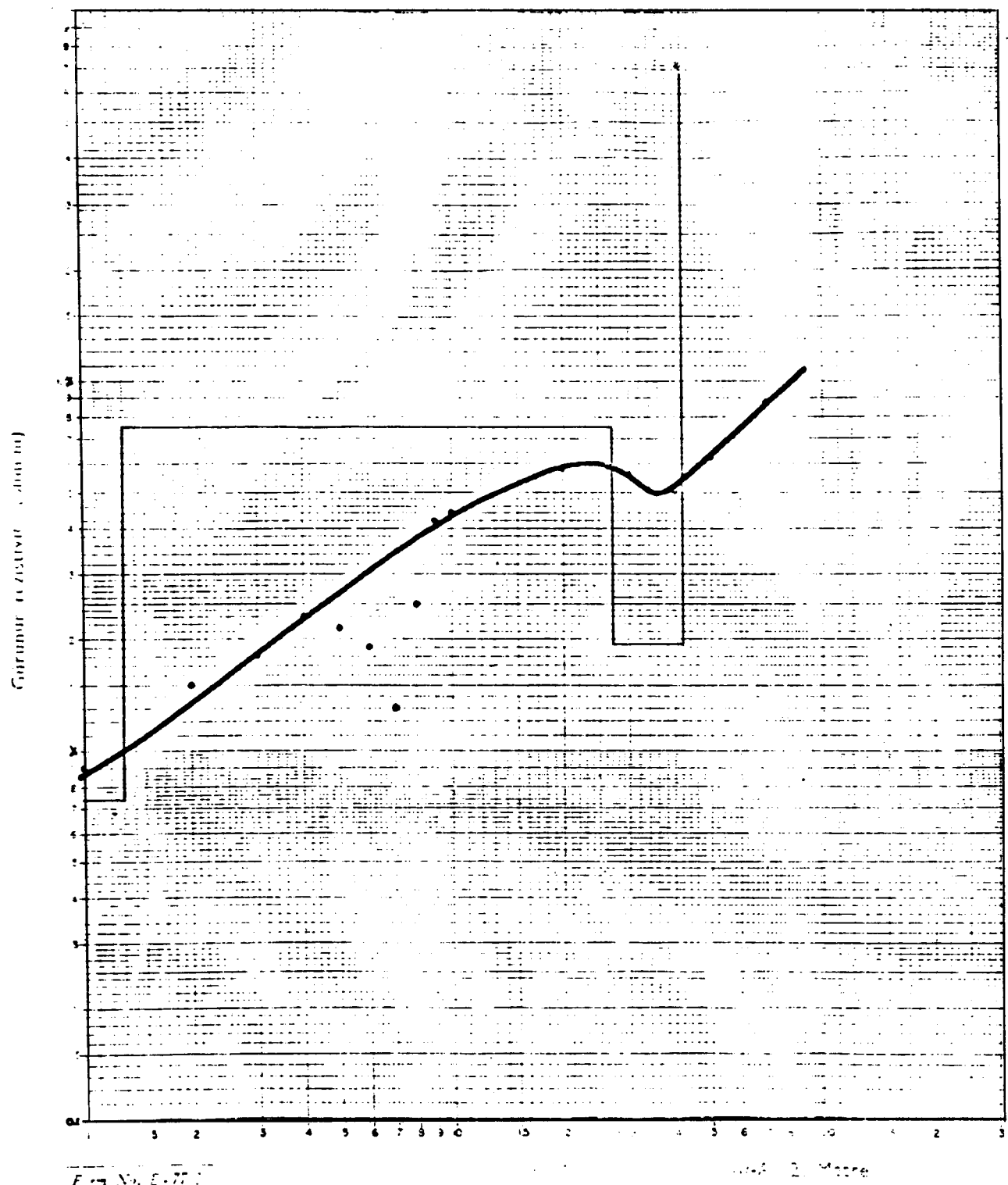
Şekil 4. Yüzer akım çubuğu. 1- İletken çelik çubuk, 2- Yüzdürücü.

Fig. 4. Hydroelectrode, 1- Electrode, 2- Floater.



Şekil 5. Haliçte kullanılan yüzə deniz elektrik dizgesinin yerleşimi ve donanım birimleri. 1- Yüzer akım çubuğu, 2- Üreteç (0.3 hz), 3- Akım ölçer, 4- Yüzer elektroliz fincanı, 5- Gerilim ölçer, 6- Dengeleyici.

Fig. 5. D.C. Geoelectrical measuring configuration and peripheral units used in Goldenhorn bay. 1- Hydroelectrode, 2- Generator (0.3 hz), 3- Amp. meter, 4- Hydropot, 5- Voltmeter, 6- Balancer.



Şekil 6. Atatürk köprüsü Eyüp yakasında, orta yerde (50'ci nokta) Haliç'in jeofizik yöntemle çıkarılan düşey elektrik delgisi.

Fig. 6. Geoelectrical sounding of Goldenhorn, under the mid point of Atatürk bridge, of the Eyüp side.

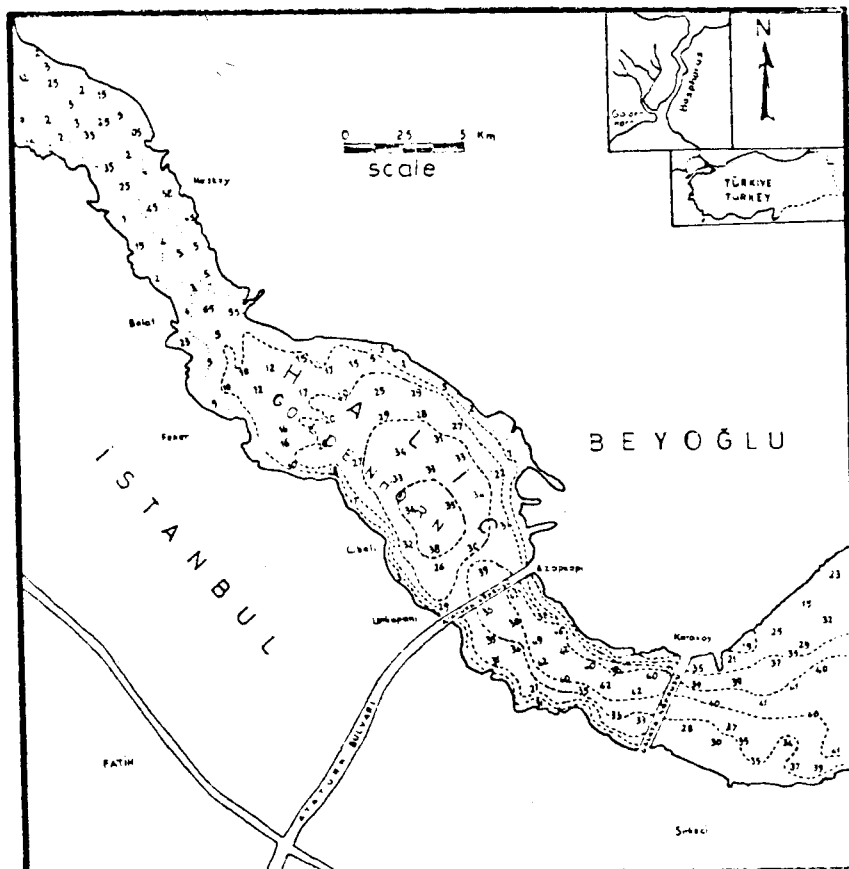
ların  $d$  derinlikleri,  $h$  kalınlıkları ve  $\rho$  elektrik özdirençleri Çizelge 1'deki gibidir.

Jeofizik yorumu göre yüzeydeki 0.75 Ohm-m'lik katman temiz su olup kalınlığı 1.3 metredir. Yüzeydeki temiz su katmanın altında 26 metre kalınlığında 7.5 Ohm-m özdirencinde sarkık tortullardan oluşan samanlan kirli su katmanı yer almaktadır. 27.3 metre derinliğinde ise bu tortullar killi iletken bir çamura dönüşmektedir. 1.95 Ohm-m özdirencindeki killi-çamur kalınlığı 13 m dolayındadır. Asıl yapısal temel derinliği ise elektrik akımın doygunluğuna eriği 41 metredir. 41 met-

redekî temelin Trakya oluşu ve dip tortullarından oluşan birlik olduğu sanılmaktadır. Kıyılarda 1-12 m olan bu tortulların, Haliç dibinde yer yer 40-50 metrelük kalınlığa eriği bilinmektedir (Sayar 1976). Bu tortulları oluşturan birimler killi-şistli-kumlu deniz kökenli midye, istiridye gibi kavaklılardır. Bunların üzerinde, oluşan sıkışmış ve serbest kıvamlı çamurların özdirenci 2 Ohm-m ve kalınlığı 13 metre dolayındadır. Bu karşının içinde Mollusk kavaklılarının bulunması, bu derinlikte ortamin halen belli bir oksijen içeriğini gösterir. Bu noktada bulunan derinlik 1961'deki Batimetrik sonuçla uyum içindedir (Şekil 7).

**Çizelge 1. Haliç Elektrik Delgisinin Yorumuyla Elde Edilen Sonuçlar**  
**Table 1. Results Obtained from the Interpretation of the Geoelectrical**  
**Sounding of Goldenhorn**

Derinlik (m) (Depth)	Kalınlık (m) (Thickness)	Özdirenç (Ohm - m) (Resistivity)	
$d_1 = 1.3 \text{ m}$	$h_1 = 1.3 \text{ m}$	$\rho_1 = 0.75 \text{ Ohm} \cdot \text{m}$	Yüzey suyu (Clean water)
$d_2 = 27.3 \text{ m}$	$h_2 = 26 \text{ m}$	$\rho_2 = 7.5 \text{ Ohm} \cdot \text{m}$	Yüzeyaltı Suyu (Dirty water)
$d_3 = 40.9 \text{ m}$	$h_3 = 13.6 \text{ m}$	$\rho_3 = 1.95 \text{ Ohm} \cdot \text{m}$	Killi - Çamur (Mud)
$d_4 = \infty$	$h_4 = \infty$	$\rho_4 = \infty$	Kavaklılar ve Temel (Basement)



**Şekil 7. Haliç'in 1961 yılındaki batimetrik haritası.**  
**Fig. 7. Bottom topographic map of Goldenhorn, in 1961.**

### Haliç Yatay Deniz Elektrik Görüntüsü

Haliç temelinin temel yükseltilerini belirlemek ve yanal süreksızlıklarını saptamak için yapılmıştır. Ölçüler, köprüün boğaz yakası boyunca ve Unkapı'ndan Galata'ya doğru alınmıştır. Ölçü konumlarını Haliç'e bağlamak için köprüün trabzanlarındaki kalın dikmeler sayılmıştır. İki dikme arası 4.28 m'dir. Bu durumda ilk kaydırma merkezi olarak, Unkapı yakasından 16'ci dikmenin olduğu yer alınmıştır. Ölçüler yer yer duba, yer yer kayak kullanılarak alınmıştır (Şekil 5 ve 8).

Kaydırma ölçümü için dizilim boyunu seçmede ilk aşamada tam köprü orta noktasındaki 50'ci dikmede alınan düşey yerelektrik delgisinden yararlanılmıştır. Amaç, temel derinliğini belirlemek olduğundan, Wenner elektrik delgi eğrisinin sağ ucunda  $a > 40$  m için oluşan,  $40^\circ$ 'lik akım doygunluğundan kaynaklanan yükselen kanadından yararlanmıştır. Buradan bulunan Wenner için S-boyuna iletim değeri

$$S = 1.38 \frac{a}{\rho_a} \quad (1)$$

dan,  $a = 50$  m ve  $\rho_a = 63$  Ohm-m'den,  $S = 1.095$  olarak bulunmuştur. Elektrik delgiden bulunan temel derinliği 41 metre olduğundan  $S$ , boyuna iletiminden bulunan  $\rho$  ortalama özdirenç değeri 5.2 Ohm-m'dır. Temel ile su yüzeyi arasındaki ortamın elektrik iletkenliğinin değişmediği varsayılsa,  $45^\circ$ 'lik sonușmaz parça üzerine düşen degerden  $d$ , temel derinliği izleyen bağıntı ile bulunabilir.

$$d = \rho \cdot S_a \quad (2)$$

ya da

$$d = a \frac{\rho}{\rho_a} \quad (3)$$

Burada,  $a$   $45^\circ$ 'lik sonușmaz bölüm içinde düşen Wenner üç açılığı,  $\rho_a$ ,  $a$  açılımı için ölçülen görünür özdirenç,  $\rho$  ortalama elektrik özdirençtir.

### Haliç Yatay Elektrik Tepkisi

$a = 50$  m alarak yapılan R-direnç ölçümlerinden Atatürk Köprüsü boyunca Haliç yatay elektrik belirtisi elde edilmiştir. Buna göre Unkapı kıyısından 50 m Galata'ya doğru elektrik özdirenç değeri 63 Ohm-m'den, yaklaşık 25 m ortaya doğru gidince 5 Ohm-m'lik en küçük degerine ulaşmaktadır. 20 ile 40 dikmeleri arasındaki 86 metrelük aralıktta, küçük salınımlarla aynı düzeyde kalan E.O. (elektrik özdirenç) 36-39 arası 25 metre yükseklikte 10 metre genişlikte bir süreksızlık yaparak batık izlenimi uyandırmaktadır. 40'dan sonra eğim 55 metre düzeye

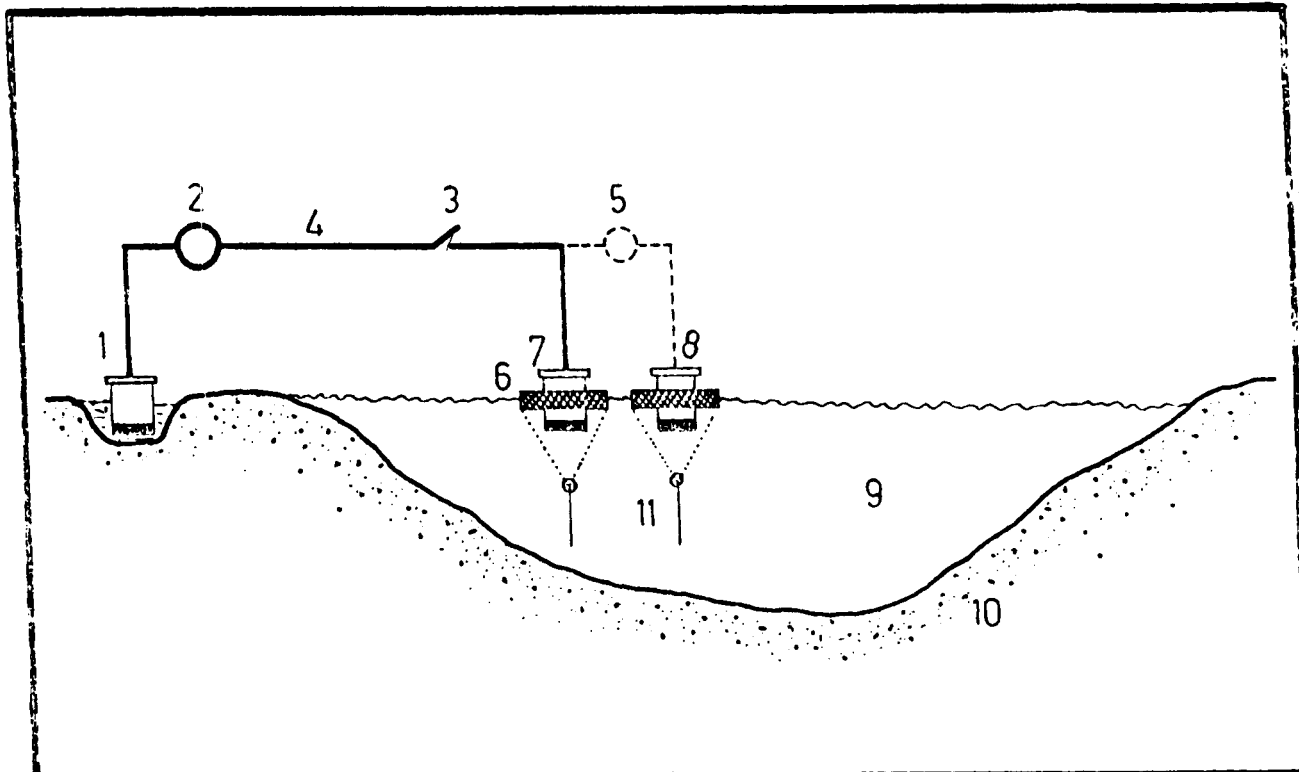
yine ulaşmakta ve küçük dalgalarla Azapkapi'ya varmaktadır. 40-60 noktaları arasındaki 129 metrelük aralıktaki en derin yer 32'inci noktanın altında olup 69 metredir. Bu aşamada, Haliç'in Azapkapi yakasının Unkapı yakasına göre daha derin olabilecegi düşünülebilir. Diğer bir seçenek, Azapkapi yakasının Unkapı yakasına göre daha derin ve diğer Azapkapi yakasının Unkapı yakasına göre daha temiz olabilecegidir. E.O. değerleri  $d$ , temel derinliğine çevrildiğinde, 16-60 noktaları arasında en sık yer 39'uncu dikme altında olup 20 metredir. Temelin yer yer gösterdiği 10-15 metrelük girinti çıkıntıları, doğal akıntı olukları ya da temel yükseltisi olabileceği gibi eski batık yığıntıları da olabilir. Bu ayrim, denizaltı elektromanyetik ölçümlerin yapılmasına aydınlatılabilir.

### DOĞAL UÇLAŞMA ÖLÇÜMLERİ

Natural Polarization

Doğal Uçlaşma ölçümleri Haliç'in akıntı yaptığı yerlerin akıntı yönünü, merkez derinliğini, küflenmiş batıkların yerlerini, kimyasal kirlenme bölgelerini bellemek üzere uygulanmıştır.

Bu ölçümler için biri yer, diğer ikisi üzeren elektroliz fincanı olarak 3 fincan kullanılmıştır (Şekil 8). Yerfincanı Unkapı köprü ayağı kıyısında 1'inci dikme hizasında toprağa gömülmüş, diğer üzeren fincan 1'inci dikmeden (Unkapı), 98'inci (Azapkapi) dikmeye dek 10'ar metre aralarla yüzdürüller D.U.G. (Doğal Uçlaşma Gerilimi) yığısal biçimde ölçülmüştür. Fincan elektrolitinin çözelti yoğunluğu değişimini bulmak için ikinci üzeren fincan 50 metrede bir diğer üzeren fincanla yanyana daldırılarak dengeleme değeri elde edilmiş (Şekil 8) ve bu değer eşit olarak bu aradaki ölçülere dağıtılmıştır. Unkapı'ndan, Azapkapi'ya doğru ölçüler D.U.G. ve D.U.E. değerleri Şekil 8'de verilen biçimde almıştır. Unkapı'ndan, Azapkapi'ya doğru ölçüler  $-40$  mV'luk degerden  $-480$  mV'a duraklı biçimde düşmustür. Ancak, bu düşüş eğrisi üzerinde 80 mV'luk 20-30 m dalga boylu D.U.G. belirtileri yer almaktadır. D.U.G. belirtilerin oldukları yerde 0, 180 ve  $90^\circ$ 'lik uçaşmaları (polarization) simgeleyen, 6 ile 0 mV/m genlikli 20-30 m dalga boylu D.U.E. belirtileri oluşmuştur. 0° ve  $180^\circ$ 'lik uçlaşma veren belirtilerin ters ve düz su akışlarından,  $90^\circ - 270^\circ$  açılı uçaşmaların küflenme yerlerinden kaynaklanabileceği sanılmaktadır. D.U.G. ve D.U.E. belirtilerinin birleşik yorumundan, akıntı merkez derinliğinin 7 ile 17 metre arasında değiştiği bulunmuştur. Akıntı görülen yerler ise, 10, 21, 32, 42, 62, 83, 93'üncü dikmelerinin izdüşümlerindedir. Bu sonuca göre Atatürk köprüsü dolayında doğal Haliç akıntıları özellikle Unkapı yakasında baskındır. Ölçülerden anlaşıldığı üzere, köprü dubaları Haliç'e su akışını kısmen engellemektedir. Yüzey akışı olduğu sanılan bu suların akış yönü Haliç'ten Boğaz'a doğrudur.



**Şekil 8.** Haliçte kullanılan Doğal uçaşma dizgesinin yerlesim düzeni ve donanım birimleri, 1- Yerelektroliz fincanı, 2- Gerilim ölçer, 3- Devre aç-kapat düğmesi, 4- Fincanlar arası yalıtılmış bakır tel, 5- Gerilim ölçer, 6- Yüzdürcü, 7- Üzer fincan, 8- Üzer karşılaştırma fincanı, 9- Deniz, 10- Kara, 11- Dengeleyici.

**Fig. 8.** Natural Polarization system configuration and periphral units at Goldenhorn Bay, İstanbul, Turkey. 1- Non polarizing electrode, 2- Voltmeter, 3- On-of key, 4- Voltmeter, 6- Floater, 7- Hydropot, 8- Reference hydro-pot, 9- Sea, 10- Land, 11- Balancer.

51 noktasında  $90^\circ$ 'lik uçaşma veren belirtinin olduğu yerde, elektrik kaydırma ölçümlerinde 7 Ohm-m'lik bir belirti ve elektrik delgi eğrisinde de 3 Ohm-m'lik bir belirti oluşmuştur. Bu belirtinin çok iletken bir süreksizliğine ya da olası bir batığa denk gelmesi beklenebilir.

D.U. süreksızlıklarının, E.Ö. kaydırma eğrilerinde düşük özdirençli 5 ile 15 Ohm-m genlikli belirtilerine denk gelmesi ilginçtir.

Ayrıca D.U.G. eğrisinin Unkapam'ndan Azapkapi'ya gittikçe azalması, bu yönde temelin derinleştiğinin önemli diğer bir kanıdır.

## SONUÇLAR

Haliç içinde R direnci 0.02 - 0.18 Ohm, özdirenç 0.75 - 70 Ohm-m, kıyıya göre en büyük doğal uçaşma gerilimi ( $-50$  mV) en büyük doğal uçaşma elektrik alanı ise 9 mV/m dolayındadır. Denizin özdirençi kirliliğe göre 0.75 ile 7.5 Ohm-m arasında değişmektedir. Haliç çamuru (ya da taban temiz suyu) özdirençi 2 Ohm-m dolayındadır. Köprü ortasında 1.3 metre yüzey suyu altındaki, sarkık tortullardan oluşan kirli su kalınlığı 26 metre olarak bulunmuştur. 27 metrede ise özdirençi 2 Ohm-m olan taban çamurunun kalınlığı 13 metre

dolayındadır. Elektrik temel derinliği ise elektrik ölçümülerden en çok 55 metre dolayında bulunmuştur.

Haliç'in yatay elektrik görüntüsü ve uçaşma ölçümlerinden Atatürk köprüsü dolayında 7 tane doğal su akıntıluğu varlığı belirlenmiştir. Bunlardan 4'ü Unkapamı yakasında, 3'ü Galata yakasında olup akış yönleri Haliç'ten Boğaz'a doğru, akma derinlik merkezleri ise 7 ile 17 metre arasındadır. Unkapamı yakasında Haliç, Galata yakasına göre daha sığ ve kırıldır.

1961'li yıllarda T.C. Deniz Kuvvetleri Komutanlığı Seyir, Hidrografi ve Oşinografi Dairesi Başkanlığı'na yapılan çalışmalarda Atatürk köprüsü dolayında verilen 42 metrelik ortalama batimetrik derinliğin, yer yer 55 metreye gerilemesi ya Haliç'te taban oturmasının hızlanması ya da Haliç'in doğal temizlenme işlemi sürecine girdiğini gösterir.

## ÖNERİLER

Haliç altınır Jeofizik yöntemle elektrik görüntüsünün çıkarılması inceleme donanımını geliştirmek suretiyle olmalıdır. Ölçüler, Galata Köprüsü'nden başlayıp, Ali-beyköy'e dek çapraz biçimde 50'şer metre araklı doğ-

rultular boyunca alınmalıdır. Tüm bunları kesen, Haliç ekseni boyunca üç doğrultuda Jeofizik yöntemlerle elektrik ölçüm yapılmalıdır. Böylece, Haliç, altının temel engebeleri, çamur kahnlığı değişimi, temiz-kirli su kahnlığı, doğal su akış oluklarının yer ve derinlikleri, gömülerin yer ve derinlikleri bulunabilir. Ayrıca, ölçümüleri belli süreli aralıklarla yineleyerek, Haliç içindeki temizlenmenin zaman içindeki değişimini de izlenebilir.

#### KAYNAKLAR

- Erguvanlı, K., Yüzer, E. ve Vardar M. 1983, İSKİ-Haliç Tünel Güzergahının Mühendislik Jeolojisi ve Kaya Mekaniği Raporu, İstanbul.
- Baykal, F. ve Kaya, O. 1963, İstanbul Bölgesinde bulunan Karboniferin Genel Stratigrafisi, MTA Dergisi, 61, 1-9.
- Kaya, O. 1969, Karbon Gei İstanbul, N. Jahr. f. Geol. u. Pal. Mh. H3, 160-173, Stuttgart.
- Sayar, C. 1976, Haliç ve Çivarının Jeolojisi; Boğaziçi Univ., İstanbul Haliç Sorunları ve Çözüm Yolları Ulusal Sempozyumu, Şubat, 355-374.